

Wellenbeschreibung eines freien Teilchens

$$\vec{p} = \hbar \vec{k}$$

$$E = \hbar \omega$$

$$E = \frac{\vec{p}^2}{2m}$$

$$\Rightarrow \omega = \frac{\hbar k^2}{2m}$$

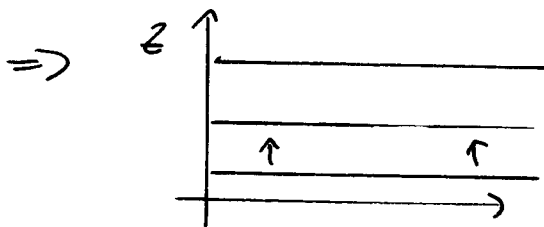
$$\text{Gruppengeschw.: } v_g = \frac{d\omega}{dk}$$

Wellenpaket: Überlagerung ebener Wellen bzw. Fouriertransform.

$$\psi(\vec{x}, t) = \int \frac{d^3k}{(2\pi)^3} \varphi(k) e^{i(\vec{k}\vec{x} - \omega(\vec{k})\cdot t)} \quad \omega(k) = \frac{\hbar}{2m} k^2$$

ebene Welle: $\vec{k} = k \cdot \vec{z}$ Phase = $kz - \omega t$

Wellenfront wird beschrieben durch Phase = const



Wellenfronten sind parallel und senkrecht auf z

Gaußsches Wellenpaket in einer Dimension

$$\varphi(k) = A \cdot e^{-(k-k_0)^2 d^2}$$

$$\psi(x, t) = \frac{A}{2\pi} \sqrt{\frac{\pi}{d^2 + i\tau}} \exp \left[\frac{-x^2/4 + id^2 k_0 (x - k_0 \tau)}{d^2 + i\tau} \right]$$

$$\tau = \frac{\hbar}{2m} t$$

$$|\psi(x, t)|^2 = \frac{A^2}{4\pi} \frac{1}{\sqrt{d^4 + \tau^2}} \exp \left[-\frac{(x - 2k_0 \tau)^2}{2(d^2 + \tau^2/d^2)} \right]$$

für $t=0, \tau=0$

$$|\psi(x, 0)|^2 = \frac{A^2}{4\pi} \frac{1}{d^2} e^{-x^2/2d^2}$$

Gaußsche Verteilung

mit fallender Zeit bewegt sich das Wellenpaket

mit $\bar{x} = 2k_0 \tau = \frac{\hbar}{m} t = v_0 t$ fort und zerfließt

Herleitung durch Betrachtung und Vergleich mit allg. Form

$$|\psi(x,t)|^2 \propto \exp\left[-\frac{(x-\bar{x})^2}{2(\Delta x)^2}\right]$$

genauer Ausdruck für die Breite

$$(\Delta x)^2 = d^2 + \frac{\hbar^2 t^2}{4m^2 d^2}$$

Schrödingergleichung

lässt sich aus ebener Welle "herleiten", d.h. ebene Welle $A \cdot e^{i(kx - \omega t)}$ ist eine Lsg der SG

\Rightarrow alle Wellenpakete (Überlagerungen ebener Wellen) sind ebenfalls Lsg. (Linearität)

Doppelspaltexperiment

27.10.05

klassisch: $|\psi|^2 = |\psi_1|^2 + |\psi_2|^2$

$$P = P_1 + P_2$$

Quantenmechanik: $\psi = \psi_1 + \psi_2$

$$|\psi|^2 = (\psi_1 + \psi_2) (\psi_1^* + \psi_2^*)$$

$$= \psi_1 \psi_1^* + \psi_1 \psi_2^* + \psi_2 \psi_1^* + \psi_2 \psi_2^*$$

$$= |\psi_1|^2 + \underbrace{\psi_1 \psi_2^* + \psi_2 \psi_1^*}_{\text{Interferenz}} + |\psi_2|^2$$

Erwartungswerte

$$\langle x \rangle = \int dx x \cdot P(x) = \int dx^3 x |\psi(x,t)|^2$$
$$= \int \psi^* x \psi dx^3$$

Unschärferelation für den harmonischen Osz.

$$\langle \hat{x} \rangle = \langle \psi_n, \hat{x} \psi_n \rangle = \left(\frac{\hbar}{2m\omega} \right)^{\frac{1}{2}} \langle \psi_n, (\hat{a} + \hat{a}^\dagger) \psi_n \rangle = 0$$

$$\begin{aligned} \Rightarrow (\Delta x)^2 = \langle (\hat{x} - \langle \hat{x} \rangle)^2 \rangle &= \langle \hat{x}^2 \rangle = \frac{\hbar}{2m\omega} \langle \psi_n, (\hat{a}^2 + \hat{a}^{\dagger 2} + \hat{a}^\dagger \hat{a} + \hat{a} \hat{a}^\dagger) \psi_n \rangle \\ &= \frac{\hbar}{m\omega} (n + \frac{1}{2}) \quad \text{Nachrechnung!} \end{aligned}$$

da $\langle \psi_n | \psi_n \rangle = \delta_{nn}$

analog:

$$(\Delta p)^2 = \hbar^2 \frac{m\omega}{\hbar} (n + \frac{1}{2})$$

$$\Rightarrow \Delta x \Delta p = \hbar (n + \frac{1}{2}) \geq \frac{\hbar}{2} \quad \text{Unschärferelation ist erfüllt}$$

Übergang zur klassischen Welt durch
Kohärente Zustände

$$\text{betrachte } \hat{a}(\alpha) = e^{-\alpha \hat{a}^\dagger} \hat{a} e^{\alpha \hat{a}^\dagger} \quad \hat{a} = \hat{a}(0)$$

$$\text{Taylorreihe } \hat{a}(\alpha) = \hat{a} + \alpha \frac{d\hat{a}(\alpha)}{d\alpha} \Big|_{\alpha=0} + \dots$$

$$\text{mit } \frac{d\hat{a}(\alpha)}{d\alpha} = e^{-\alpha \hat{a}^\dagger} \underbrace{(-\hat{a}^\dagger \hat{a} + \hat{a} \hat{a}^\dagger)}_{= [\hat{a}^\dagger, \hat{a}] = 1} e^{\alpha \hat{a}^\dagger} = 1$$

$$\Rightarrow \hat{a}(\alpha) = \hat{a} + \alpha + 0 \quad \text{Operator ist nur verschoben}$$

$$\text{Definition } \psi_\alpha = e^{-|\alpha|^2/2} e^{\alpha \hat{a}^\dagger} \psi_0, \quad \langle \psi_\alpha, \psi_\alpha \rangle = 1$$

$$\hat{a} \psi_\alpha = e^{-|\alpha|^2/2} \underbrace{e^{\alpha \hat{a}^\dagger} e^{-\alpha \hat{a}^\dagger}}_{=1} \hat{a} e^{\alpha \hat{a}^\dagger} \psi_0 = e^{-|\alpha|^2/2} \hat{a}(\alpha) \psi_0$$

$$= e^{-|\alpha|^2/2} e^{\alpha \hat{a}^\dagger} (\hat{a} + \alpha) \psi_0$$

$\underbrace{\hspace{10em}}_{\rightarrow 0}$

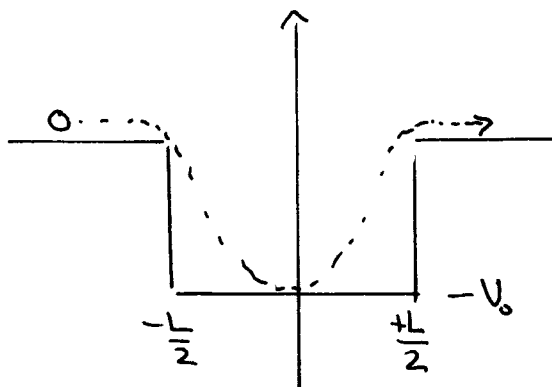
$$= \alpha \cdot e^{-|\alpha|^2/2} e^{\alpha \hat{a}^\dagger} \psi_0 = \alpha \psi_\alpha$$

$\Rightarrow \psi_\alpha$ ist eine Eigenfunktion des Vernichtungsoperators

Die Unschärfe ist hier minimal!

$$\Delta x \Delta p = \frac{\hbar}{2}$$

Streu Zustände in Potentialtopf



$$E > 0$$

Klassisch: Teilchen rollt nach unten, und wieder hoch
 \rightarrow läuft unbeeinträchtigt weiter

quantenmechanisch: Transmission + Reflexion

- Beachte Stetigkeitsbed.

$$\psi_I(x) = A \cdot e^{iqx} + B \cdot e^{-iqx}$$

$$\psi_{II}(x) = C \cdot e^{ikx} + D \cdot e^{-ikx}$$

$$\psi_{III}(x) = F \cdot e^{iqx} + G \cdot e^{-iqx}$$

$$q^2 = \frac{2m}{\hbar^2} \cdot E$$

$$k^2 = \frac{2m}{\hbar^2} (E + V_0)$$

$\hookrightarrow = 0$ auf phys. Interpretation

$$A = e^{i\frac{1}{2}kL} \left[\cos kL - \frac{i}{2} \left(\frac{q}{k} + \frac{k}{q} \right) \sin kL \right] F$$

$$\frac{F}{A} \equiv S, \quad |S|^2: \text{Transmissionskoeffizient}$$

$$(|S|^2)^{-1} = \left| \cos kL - \frac{i}{2} \left(\frac{q}{k} + \frac{k}{q} \right) \sin kL \right|^2$$

$$= \cos^2 kL + \frac{1}{4} \left(\frac{q}{k} + \frac{k}{q} \right)^2 \sin^2 kL$$

$$= 1 + \frac{1}{4} \left(\frac{q}{k} - \frac{k}{q} \right)^2 \sin^2 kL$$

$$= \frac{q^2}{k^2} - 2 + \frac{k^2}{q^2}$$

$$= \frac{V_0^2}{E(E+V_0)}$$

$$= 1 + \frac{1}{4} \sin^2 kL \cdot \frac{1}{E/V_0 (1+E/V_0)}$$

$$\rightarrow |S|^2 = \left(1 + \frac{1}{4} \frac{\sin^2 kL}{E/V_0 (1+E/V_0)} \right)^{-1}$$

$$|S|^2 = 1 \quad \text{für} \quad \sin^2 kL = 0 \Rightarrow k = \frac{n\pi}{L}$$

vollständige Transmission

"Resonanz"

$$\rightarrow E = \frac{\hbar^2 k^2}{2m} - V_0 = v^2 \frac{\hbar^2 n^2}{2mL^2} - V_0 > 0 \quad (\text{Beschränkung von } n)$$

Energie im Resonanzfall

In der Nähe der Resonanzenergie: Breit-Wigner-Funktion
durch Taylor in 1. Ordnung von $e^{i\frac{1}{2}kL} S$

$$\rightarrow |S(E)|^2 \approx \frac{(\Gamma/2)^2}{(E - E_0)^2 + (\Gamma/2)^2}$$

Potentialbarriere

wird prinzipiell wie der Potentialtopf behandelt:

- Unterteilung in 3 Gebiete
- Erhält gleiche Situation in I und III (vor u. hinter der Barriere)

- In Gebiet II: $\psi_{II}(x) = C \cdot e^{-\kappa x} + D \cdot e^{\kappa x}$
 vgl.: $\psi_{II}^{\text{topf}}(x) = C \cdot e^{i\kappa x} + D \cdot e^{-i\kappa x}$

$\Rightarrow \boxed{\kappa \rightarrow i\kappa}$ Potentialtopf \rightarrow Potentialbarriere

ohne zu rechnen: Transmission koeff.

$$|S(E)|^2 = \left[1 + \frac{1}{4} \left(\frac{q}{i\kappa} - \frac{i\kappa}{q} \right)^2 \sin^2(\kappa L) \right]^{-1}$$

$$= \left[1 + \frac{1}{4} \left(\frac{q}{\kappa} + \frac{\kappa}{q} \right)^2 \sinh^2(\kappa L) \right]^{-1}$$

$$\left(\frac{q}{\kappa} + \frac{\kappa}{q} \right)^2 = \dots = \frac{V_0^2}{E(V_0 - E)}$$

↑ Topf: +

Vergleich mit der Klassik:

Klassisch: totale Reflexion



Quantenmech: Tunneleffekt:

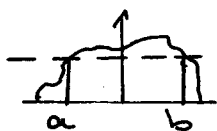
exponentieller Abfall in der Barriere, "Dämpfung" der Aufenthaltswahrscheinlichkeit hinter der Barriere $|S(E)|^2$ Tunnelwahrsch.

Spezialfall: hohe Barriere $\kappa L \gg 1 \rightarrow \sinh \kappa L \approx \frac{1}{2} e^{\kappa L}$

$$|S(E)|^2 \approx \frac{16 E(V_0 - E)}{V_0^2} e^{-\frac{2}{\hbar} \int_a^b dx \sqrt{2m(V(x) - E)}}$$

Klassischer Grenzfall $\lim_{\hbar \rightarrow 0} |S(E)|^2 = 0$

Lässt sich auch auf beliebige Potentialb. anwenden!



a, b: klassische Umkehrpunkte

$$|S(E)|^2 \propto \exp \left[-\frac{2}{\hbar} \int_a^b dx \sqrt{2m(V(x) - E)} \right]$$

"Gamow-Faktor"

Drehimpuls

in einer Dimension: Translation durch \hat{p}

$$\begin{aligned}\exp\left[\frac{i}{\hbar} a \hat{p}\right] \psi(x) &= \exp\left[a \cdot \frac{d}{dx}\right] \psi(x) = \sum_{n=0}^{\infty} \frac{1}{n!} \left(a \frac{d}{dx}\right)^n \psi(x) \\ &= \psi(x) + a \cdot \frac{d}{dx} \psi(x) + \frac{1}{2} a^2 \frac{d^2}{dx^2} \psi(x) + \dots \\ &= \psi(x+a)\end{aligned}$$

Drehimpuls: $\vec{L} = \vec{x} \times \vec{p}$ mit $\hat{p} = -i\hbar \nabla$

$$\hat{L}_i = \epsilon_{ijk} x_j \hat{p}_k \quad (\text{mit } \epsilon_{ijk})$$

$$\begin{aligned}[x_i, \hat{p}_j] &= i\hbar \delta_{ij} \rightarrow [\hat{L}_i, \hat{L}_j] = i\hbar \epsilon_{ijk} \hat{L}_k \\ [\hat{L}_i, x_j] &= i\hbar \epsilon_{ijk} x_k \\ [\hat{L}_i, \hat{p}_j] &= i\hbar \epsilon_{ijk} \hat{p}_k\end{aligned}$$

analog zu oben: $\exp[i/\hbar \vec{\phi} \cdot \vec{L}] \psi(\vec{x})$ mit Drehachse in \vec{e}_z : $\vec{\phi} = \phi \cdot \vec{e}_z$

in Kugelkoordinat.: $\nabla = \vec{e}_r \frac{\partial}{\partial r} + \vec{e}_\vartheta \frac{1}{r} \frac{\partial}{\partial \vartheta} + \vec{e}_\varphi \frac{1}{r \sin \vartheta} \frac{\partial}{\partial \varphi}$

$$\begin{aligned}\Rightarrow \hat{L}_z &= -i\hbar \vec{x} \times \vec{p} = -i\hbar (\vec{e}_r \times \vec{e}_\vartheta \frac{\partial}{\partial \vartheta} + \vec{e}_r \times \vec{e}_\varphi \frac{1}{\sin \vartheta} \frac{\partial}{\partial \varphi}) \\ &= -i\hbar (\vec{e}_\varphi \frac{\partial}{\partial \vartheta} - \vec{e}_\vartheta \frac{1}{\sin \vartheta} \frac{\partial}{\partial \varphi})\end{aligned}$$

$$\begin{aligned}\vec{e}_\varphi &= -\sin \vartheta \vec{e}_x + \cos \vartheta \vec{e}_y \\ \vec{e}_\vartheta &= \cos \vartheta \cos \varphi \vec{e}_x + \cos \vartheta \sin \varphi \vec{e}_y \\ &\quad + (-\sin \vartheta) \vec{e}_z\end{aligned}$$

nur \vec{e}_z interessant

$$\hat{L}_z = -i\hbar \left(-\frac{1}{\sin \vartheta}\right) (-\sin \vartheta) \frac{\partial}{\partial \varphi} = -i\hbar \frac{\partial}{\partial \varphi}$$

→ vgl. oben

$$\rightarrow \exp\left[\frac{i}{\hbar} \phi \hat{L}_z\right] \psi(r, \vartheta, \varphi) = \psi(r, \vartheta, \varphi + \phi)$$

allgemein (ohne Beweis):

$$\exp\left[\frac{i}{\hbar} \vec{\phi} \cdot \vec{L}\right] \psi(\vec{x}) = \psi(\vec{x} + \vec{\phi} \times \vec{x})$$

Leitoperatoren für den Drehimpuls

$$\hat{L}_{\pm} \equiv \hat{L}_x \pm i\hat{L}_y, \text{ gewählt, sodass } [\hat{L}_z, \hat{L}_{\pm}] = \pm \hbar \hat{L}_{\pm}$$

$$[\hat{L}^2, \hat{L}_{\pm}] = 0$$

\hat{L} ist hermitisch \rightarrow hat reelle Eigenwerte

$$\hat{L}_z \psi_m = \hbar m \psi_m$$

Die Leitoperatoren verhalten sich wie bei a, a^{\dagger} auf dem Kommutator!

$$\hat{L}_z(\hat{L}_{\pm} \psi_m) = \dots = \hbar(m \pm 1)(\hat{L}_{\pm} \psi_m) \rightarrow \hat{L}_{\pm} \psi_m \propto \psi_{m \pm 1}$$

Nach längerer Rechnung erhält man für \hat{L}^2 :

$$\hat{L}^2 = -\hbar^2 \left[\frac{1}{\sin^2 \vartheta} \frac{\partial}{\partial \vartheta} \left(\sin^2 \vartheta \frac{\partial}{\partial \vartheta} \right) + \frac{1}{\sin^2 \vartheta} \frac{\partial^2}{\partial \varphi^2} \right]$$

was auf die Legendre / Kugelflächenfunktionen führt

\rightarrow Legendrische Differentialgleichung

$$\left[\frac{1}{\sin^2 \vartheta} \frac{\partial}{\partial \vartheta} \left(\sin^2 \vartheta \frac{\partial}{\partial \vartheta} \right) + \frac{1}{\sin^2 \vartheta} \frac{\partial^2}{\partial \varphi^2} \right] \psi_{lm}(\vartheta, \varphi) = -l(l+1) \psi_{lm}(\vartheta, \varphi)$$

... Separationsansatz: $\psi_{lm}(\vartheta, \varphi) = \Theta_{lm}(\vartheta) \Phi_m(\varphi)$

aus der Eindeutigkeit $\Phi_m(\varphi + 2\pi) \stackrel{!}{=} \Phi_m(\varphi)$ folgt die

ganzzahligkeit m ganzzahlig $\rightarrow l = 0, 1, 2, \dots$

Zentralpotential

Separationsansatz: $\psi(r, \vartheta, \varphi) = R(r) Y_{lm}(\vartheta, \varphi)$

Y_{lm} sind die Kugelflächenfunktionen ✓

$$R(r) = \frac{u(r)}{r}$$

$$\left[-\frac{\hbar^2}{2m} \frac{d^2}{dr^2} + \frac{\hbar^2 l(l+1)}{2mr^2} + V(r) \right] u(r) = E u(r)$$

; Normierbarkeit!
wird im Weiteren
nicht beachtet

$\lim_{r \rightarrow \infty} r^2 V(r) = 0 \quad ; \quad \lim_{r \rightarrow \infty} u(r) \sim r^{l+1}$

Grenzverhalten

Kugelförmiger Kasten

$$V(r) = \begin{cases} 0 & r < a \\ \infty & r > a \end{cases}$$



RB:

$$u(0) = u(a) = 0$$

$$\rho = q \cdot r \quad ; \quad q^2 = \frac{2mE}{\hbar^2}$$

$$E > 0$$

$$0 \leq r \leq a: \left[\frac{d^2}{d\rho^2} - \frac{l(l+1)}{\rho^2} + 1 \right] u(\rho) = 0$$

$$l=0: \left(\frac{d^2}{d\rho^2} + 1 \right) u(\rho) = 0 \quad \rightarrow \quad u_0(\rho) \propto \sin \rho \quad \rho \rightarrow \infty \sim \rho \quad \checkmark$$

Ansatz: $u_l = e^{l+1} X_l(\rho)$

Prinzip für den Ansatz: bekannte Anteil als Vorfaktor

$$\rightarrow X_l'' + \frac{2(l+1)}{\rho^2} X_l' + X_l = 0 \quad (1) \quad \xrightarrow{\rho \rightarrow l+1} X_{2l+1}'' + 2 \frac{l+2}{\rho^2} X_{2l+1}' + X_{2l+1} = 0 \quad (5)$$

Beh.: $X_{2l+1} = \frac{1}{\rho} X_2' \quad (2) \quad \rightarrow \quad X_{2l+1}' = -\frac{1}{\rho^2} X_2' + \frac{1}{\rho} X_2'' \quad (3)$

$$X_{2l+1}'' = \frac{2}{\rho^3} X_2' - \frac{2}{\rho^2} X_2'' + \frac{1}{\rho} X_2''' \quad (4)$$

Durch Einsetzen und ~~erhalten~~ Benutzung von (1)' zeigt sich,

dass die Dgl. durch den Ansatz erfüllt wird

Mit $l+1 \rightarrow l$ wird die Beh. zu

$$X_2 = \left(\frac{1}{\rho} \frac{\partial}{\partial \rho} \right) X_{2l+1} = \left(\frac{1}{\rho} \frac{\partial}{\partial \rho} \right)^2 X_0 \quad \text{mit} \quad X_0 = \frac{u_0}{\rho} \propto \frac{\sin \rho}{\rho}$$

$$R_l = \frac{u_l}{\rho} = \rho^2 X_2 \propto j_l(\rho) \quad \boxed{\text{Sphärische Besselfunktion}}$$

Wie aus der Mathematik bekannt ist, lautet die allg. Def. der sph. Bf.:

$$j_l(\rho) = (-\rho)^l \left(\frac{1}{\rho} \frac{\partial}{\partial \rho} \right)^l \frac{\sin \rho}{\rho}$$

kein mathematisch sind auch die sphärischen Neumann-Funktionen als irreguläre Lsg (sin ρ durch cos ρ ersetzen)

Ebensso die Kombination beider Lsg: "sphärische Hankel-Funktionen": $h_l(\rho) = j_l(\rho) + i n_l(\rho)$

Weitere Eigenschaften:

$$\rho \rightarrow 0 : j_l(\rho) = \frac{\rho^l}{(2l+1)!!} + \dots, \quad (2l+1)!! = (2l+1)(2l-1)\dots 5 \cdot 3 \cdot 1$$

$$n_l = \frac{-(2l-1)!!}{\rho^{2l+1}} + \dots$$

$$\rho \rightarrow \infty : j_l(\rho) \approx \frac{1}{\rho} \sin\left(\rho - \frac{l\pi}{2}\right) \quad n_l(\rho) = -\frac{1}{\rho} \cos\left(\rho - \frac{l\pi}{2}\right)$$

Eigenwerte über die RB:

$$u_l(\rho_a) \stackrel{!}{=} 0 \quad \rightarrow \quad j_l(\rho_{N,l}) \stackrel{!}{=} 0 \quad \text{Nullstellen der Besselfunktionen:}$$

$\rho_{N,l}$: Nullstellen von $j_l(\rho)$ mit N nummeriert die Folge der Nullstellen

N: "radiale Quantenzahlen"

Das l bezeichnet die Orbitale!

N \ l	S	P	D	F-orbital
	0	1	2	3
1	3,14	4,49
2	6,28	...		
3		--

Die Elektronen lassen sich entsprechend durchnummerieren und mit Energieniveaus versehen: Nl :

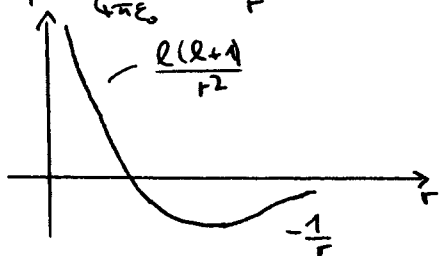
1S, 1P, 1D, 2S, ...

(dies fast immer \bar{e} zusammen: Es gibt noch die Entartung m)

Wasserstoffatom

Proton wird fest in die Mitte gesetzt, Potential ist das Coulombpot. einer Punktladung

$$U(r) = \frac{-1}{4\pi\epsilon_0} \frac{(Ze)e \cdot e}{r}$$



$$\rho = kr, \quad k^2 = \frac{2m|E|}{\hbar^2}, \quad E < 0$$

$$C_0 = \frac{e^2 Z e}{4\pi\epsilon_0 |E|}$$

$$\text{Sgl: } \left[-\frac{\hbar^2}{2m} \frac{\partial^2}{\partial r^2} + \frac{\hbar^2 l(l+1)}{2m r^2} + U(r) \right] u(r) = E u(r)$$

$$\rightarrow \left[\frac{\partial^2}{\partial \rho^2} - \frac{l(l+1)}{\rho^2} + \frac{e_0}{\rho} - 1 \right] u(\rho) = 0$$

... analoges Vorgehen wie beim rad. Potentialtopf

$$RB: \rho \rightarrow 0 : u \sim \rho^{l+1}$$

$$\rho \rightarrow \infty : \frac{\partial^2}{\partial \rho^2} u - u = 0 \rightarrow u \sim e^{-\rho}$$

Ansatz: $u(\rho) = \rho^{l+1} \cdot e^{-\rho} w(\rho)$ (Prinzip: bekannte Anteile voraussetzen, s.o.)

$$\rightarrow \boxed{\frac{\partial^2 w}{\partial \rho^2} + 2(l+1-\rho) \frac{\partial w}{\partial \rho} + (e_0 - 2(l+1)) w = 0}$$

Diese Dgl. ist zu lösen, um das H-Atom zu beschreiben

$$\text{geg. mit Potenzreihenansatz } w(\rho) = \sum_{k=0}^{\infty} a_k \rho^k$$

$$\rightarrow \sum_{k=0}^{\infty} a_k \left\{ k(k-1) \rho^{k-1} + 2(l+1)k \rho^{k-1} - 2k \rho^k + [e_0 - 2(l+1)] \rho^k \right\} = 0$$

$$\rightarrow \text{Koeff. für } \rho^k: a_{k+1} [(k+1)k + 2(l+1)(k+1)] + a_k \{-2k + [e_0 - 2(l+1)]\} = 0$$

dies ist eine Rekursionsformel a_{k+1} von a_k

Löst den Radialanteil der Wellenfunktion

Aber: Problem mit dem asymptotischen Verhalten: $\frac{a_{k+1}}{a_k} \xrightarrow{k \rightarrow \infty} \frac{2}{k}$

das ist dasselbe Verhalten wie für ein $e^{2\rho} \rightarrow$ Divergenz, keine Normierbarkeit

Einzig Lösung: Rekursionsformel muss abbrechen: $\sum_{k=0}^{\infty} \rightarrow \sum_{k=0}^{N-1}$

N ist dabei die radiale Quantenzahl

Berechnung der Abbruchbedingung:

$$\text{für } k=N: 2(N+l+1) - e_0 \stackrel{!}{=} 0 \rightarrow e_0 = 2 \frac{(N+l+1)^2}{n^2} \quad \text{1)}$$

n : Hauptquantenzahl

$$\rightarrow w(\rho) = \sum_{k=0}^{n-l-1} a_k \rho^k : \text{Polynom vom Grad } N \text{ (} \rightarrow N \text{ Nullstellen)}$$

$$e_0 = \frac{e^2 Z}{4\pi\epsilon_0 |E|} \frac{\sqrt{2m|E|}}{\hbar} \quad \rightarrow \quad \boxed{E_n = - \frac{m e^4 Z^2}{2(4\pi\epsilon_0)^2 \hbar^2} \cdot \frac{1}{n^2}}$$

$$\text{kurz mit einer Rydbergkonstanten } R_H^* = \frac{m e^4}{2(4\pi\epsilon_0)^2 \hbar^2} = 13,6 \text{ eV}$$

$$\rightarrow E_n = R_H^* \cdot \frac{1}{n^2}$$

1) Daraus folgt $l \leq n-1$; magnet. Quantenzahl $|m| \leq l$; l heißt auch Nebenquantenzahl

Die Wellenfunktion hat alle diese drei Quantenzahlen als Index: $\psi = \psi_{nlm}$

Hinweis zu den Entartungen: ergibt sich aus der drei Quantenzahl

$$E_1: \psi_{0,0} ; E_2: \psi_{2,0}, \psi_{2,1}, \psi_{2,1,1} ; E_3: \dots$$

$$E_n \text{ hat } \sum_{l=0}^{n-1} (2l+1) = n^2 \text{ entartete Eigenzustände}$$

Wenn man die versch. Polynome für $w(\rho)$ aufschreibt, stellt man fest, dass es sich um die zugeordneten Laguerre-Polynome handelt

$$w(\rho) \propto L_{n-l-1}^{2l+1}(2\rho)$$

$$\text{allg. aus der Mathematik: } L_p^q(x) = \sum_{m=0}^p (-1)^m \frac{(p+q)! x^m}{m!(p-m)!(q+m)!}$$

Die Lösung lautet dann insgesamt für das Wasserstoffatom

$$\psi_{nlm} \propto R_{nl}(r) Y_{lm}(\vartheta, \varphi) ; R_{nl}(r) = \frac{u(r)}{r} \propto (2\rho r)^l \cdot e^{-\rho r} L_{n-l-1}^{2l+1}(2\rho r)$$

Vorfaktor $(2\rho r)^{3/2}$ · Numerische Faktor

Dreidimensionaler harmonischer Oszillator

Potential analog zu einer Dimension mit $x \rightarrow \vec{x}$

$$V(\vec{x}) = \frac{m\omega^2}{2} \vec{x}^2$$

$$\text{Separationsansatz: } \psi(\vec{x}) = \psi_1(x_1) \psi_2(x_2) \psi_3(x_3)$$

Der Hamilton-Operator zerfällt dann auch in 3 Komponenten

$$\hat{H} = \sum \hat{H}_i \quad \text{mit} \quad \hat{H}_i = \frac{\hat{p}_i^2}{2m} + \frac{m\omega^2}{2} x_i^2$$

In jeder Dimension wird dann der eindim. Oszillator gelöst: $E_i = \hbar\omega(n_i + \frac{1}{2})$

$$\rightarrow E = \sum E_i = \hbar\omega(n_1 + n_2 + n_3 + \frac{3}{2}) = \hbar\omega(N + \frac{3}{2})$$

Unterschied zu einer Dimension: Es gibt eine Entartung

$$\text{wg. } N = n_1 + n_2 + n_3$$

$$\text{Entartungsgrad: } \underbrace{n_1 + n_2 + n_3}_{:=N} = N : \sum_{n=0}^N (n+1) = \frac{(N+1)(N+2)}{2} = d_N$$

Das Problem kann aber auch als Beispiel für ein Zentralpotential angesehen werden

¹⁾ Dies entspricht der amerikanischen Literatur. Die russische Tradition (auch Schwabl) definiert $L_p^q = \frac{(-1)^q L_{p+q}^q}{(p+q)!}$

$$\rightarrow \psi(r, \varphi, \vartheta) = R_n(r) Y_{lm}(\vartheta, \varphi) \quad ; \quad R_n(r) = \frac{u_n(r)}{r}$$

$$\rightarrow \left[-\frac{\hbar^2}{2m} \frac{\partial^2}{\partial r^2} + \frac{\hbar^2}{2m r^2} \ell(\ell+1) + \frac{m\omega^2}{2} r^2 \right] u_n(r) = E_n u_n(r)$$

$$(u_n, u_2, u_3) \rightarrow (N, \ell, m)$$

Entartung: $d_n = (2N+1) d_{n-2} \rightarrow$ # fest: $\begin{cases} \ell = 0, 2, \dots, N-2, N, N \text{ gerade} \\ \ell = 1, 3, \dots, N-2, N, N \text{ ungerade} \end{cases}$

$$d_n = \begin{cases} \sum_{\ell=0, 2, \dots}^N (2\ell+1) & N \text{ gerade} \\ \sum_{\ell=1, 3, \dots}^N (2\ell+1) & N \text{ ungerade} \end{cases}$$

Geladenes Teilchen im elektromagnetischen Feld

Klassisch: $\vec{E} = -\nabla\phi - \dot{\vec{A}}$ $\vec{B} = \nabla \times \vec{A}$

Aus der Lorentzkraft erhält man $m \ddot{\vec{x}} = \vec{F} = -e \nabla\phi - e \dot{\vec{A}} + e \dot{\vec{x}} \times (\nabla \times \vec{A})$

in Komponenten: $m \ddot{x}_i = -e \frac{\partial \phi}{\partial x_i} - e \frac{\partial A_i}{\partial t} + e x_j \left(\frac{\partial A_i}{\partial x_j} - \frac{\partial A_j}{\partial x_i} \right)$ Klassische Bewegungsgleichung

kann aus Lagrange hergeleitet werden:

$$L(\vec{x}, \dot{\vec{x}}) = T - V = \frac{1}{2} m \dot{\vec{x}}^2 + e(\dot{\vec{x}} \cdot \vec{A} - \phi) \quad \text{über Euler-Lagrange-Gl.:}$$

$$\frac{d}{dt} \underbrace{\frac{\partial L}{\partial \dot{x}_i}}_{\equiv p_i} - \frac{\partial L}{\partial x_i} = 0$$

Hamilton-Funktion: $H(\vec{x}, \vec{p}) = \vec{p} \cdot \dot{\vec{x}} - L = \frac{1}{m} \vec{p} \cdot (\vec{p} - e\vec{A}) + \frac{1}{2} m \frac{1}{m^2} (\vec{p} - e\vec{A})^2 - \frac{e}{m} (\vec{p} - e\vec{A}) \cdot \vec{A} + e\phi$

$$H = \frac{1}{2m} (\vec{p} - e\vec{A})^2 + e\phi$$

Quantisieren!

Quantenm. $\hat{H} \psi(\vec{x}, t) = \left[\frac{1}{2m} (-i\hbar \nabla - e\vec{A})^2 + e\phi \right] \psi(\vec{x}, t)$

mit der Coulombbedingung $\nabla \cdot \vec{A} = 0$ gilt durch Ausrechnen

$$\hat{H} \psi = \left[-\frac{\hbar^2}{2m} \nabla^2 + e\phi + i \frac{e\hbar}{m} \vec{A} \cdot \nabla + \frac{e^2}{2m} \vec{A}^2 \right] \psi$$

\uparrow \uparrow
 $H_{\text{paramag.}}$ $H_{\text{diamag.}}$

Paramagnetischer / Diamagnetischer Effekt, z.B. konst. Magnetfeld (in \vec{e}_z)

$$\vec{A} = -\frac{1}{2} \dot{\vec{x}} \times \vec{B}$$

$$\hat{H}_p = \dots = -\frac{e}{2m} (\vec{x} \times \vec{p}) \cdot \vec{B} = -\frac{e}{2m} \hat{L} \cdot \vec{B} = -\vec{m} \cdot \vec{B}$$

$$\hat{m}_z = -\frac{e\hbar}{2m} \hat{L}_z \quad ; \quad \hat{L}_z \psi_{em} = \hbar m \psi_{em}$$

Energie wird minimal, wenn $m_z = \langle \psi_{em} | \hat{m}_z | \psi_{em} \rangle$ maximal

$$\rightarrow m_z = \frac{e\hbar}{2m} l, \text{ d.h. in } +\vec{e}_z\text{-Richtung, also in Richtung von } \vec{B}$$

magnetisches Moment richtet sich in \vec{B} -Richtung aus und verstärkt das äußere Feld \rightarrow paramagnetischer Term

$$\hat{H}_d = \dots = \frac{e^2 B_0^2}{8m} (x^2 + y^2), \quad "m_z \propto -B_0"$$

\rightarrow diamagnetischer Term

Explizit: diamagnetischer Term für ein gel. Teilchen im konstanten B-Feld

$$\text{Lorentz-Kraft: } \vec{F}_L = e \dot{\vec{x}} \times \vec{B}, \quad \text{klassisch:}$$

Bewegungsgleichung $m \ddot{\vec{x}} = \vec{F}_L$ wird gelöst durch

$$x(t) = x_0 + c_0 \cos(\omega_c t - \varphi_0)$$

$$y(t) = y_0 + c_0 \sin(\omega_c t - \varphi_0)$$

$$z(t) = v_{z,0} t + z_0$$

$$\omega_c = \frac{|e| B_0}{m}$$

Kreisfrequenz

$x_0, y_0, z_0, c_0, \varphi_0, v_{z,0}$ wird durch Anfangsbed. beschrieben

\rightarrow spiralförmige Bewegung

Dieses Problem ist quantenmechanisch als das Landau-Problem bekannt

Landau-Problem

$$\vec{B} = B_0 \cdot \vec{e}_z, \quad \vec{A}(\vec{x}) = -\frac{1}{2} \vec{x} \times \vec{B} = \begin{pmatrix} -\frac{1}{2} B_0 y \\ \frac{1}{2} B_0 x \\ 0 \end{pmatrix} \quad \text{über geeignete Eichung!}$$

$$\hat{H} = \frac{1}{2m} (\hat{\vec{p}} - e\vec{A})^2 = \frac{\hat{p}_z^2}{2m} + \frac{1}{2m} \left[(\hat{p}_x + \frac{e}{2} B_0 y)^2 + (\hat{p}_y - \frac{e}{2} B_0 x)^2 \right]$$

$$= \hat{H}_{||} + \hat{H}_{\perp}$$

$$\text{definiere: } z = x + iy \rightarrow \frac{\partial}{\partial z} f(x, y) = \frac{\partial}{\partial x} f \frac{\partial x}{\partial z} + \frac{\partial}{\partial y} f \frac{\partial y}{\partial z}$$

$$\rightarrow x = \frac{1}{2}(z + z^*) \rightarrow \frac{\partial x}{\partial z} = \frac{1}{2}$$

$$\rightarrow y = \frac{1}{2i}(z - z^*) \rightarrow \frac{\partial y}{\partial z} = \frac{1}{2i}$$

Damit wird $\hat{H}_\perp = -\frac{\hbar^2}{m} \frac{\partial^2}{\partial z^2} + \frac{m\omega_c^2}{8} z^2 + \frac{\omega_c}{2} \hat{L}_z$

$$\hat{L}_z = -i\hbar \left(x \frac{\partial}{\partial y} - y \frac{\partial}{\partial x} \right) = \hbar \left(z \frac{\partial}{\partial z} - z^* \frac{\partial}{\partial z^*} \right) \quad ; \quad \omega_c = -\frac{eB_0}{m}$$

$$\hat{a} = \frac{1}{\sqrt{2\ell_B^2}} \left(2\ell_B^2 \frac{\partial}{\partial z} + \frac{1}{2} z \right) \quad \hat{a}^\dagger = \frac{1}{\sqrt{2\ell_B^2}} \left(-2\ell_B^2 \frac{\partial}{\partial z} + \frac{1}{2} z^* \right)$$

$$\hat{b} = \frac{1}{\sqrt{2\ell_B^2}} \left(2\ell_B^2 \frac{\partial}{\partial z} + \frac{1}{2} z^* \right) \quad \hat{b}^\dagger = \frac{1}{\sqrt{2\ell_B^2}} \left(-2\ell_B^2 \frac{\partial}{\partial z^*} + \frac{1}{2} z \right)$$

Vorfaktoren sind so gewählt, dass $[\hat{a}, \hat{a}^\dagger] = 1$, $[\hat{b}, \hat{b}^\dagger] = 1$

$$\ell_B^2 \equiv \frac{\hbar}{|e|B_0} \quad : \quad \text{magnetische Länge}$$

$$\rightarrow \dots \hat{H}_\perp = \hbar \omega_c \left(\hat{a}^\dagger \hat{a} + \frac{1}{2} \right)$$

$$\hat{L}_z = \hbar \left(\hat{b}^\dagger \hat{b} - \hat{a}^\dagger \hat{a} \right)$$

\rightarrow harmonischer Oszillator
d.h. $\hat{H}_\perp \psi_{n,k} = \hbar \omega_c \left(n + \frac{1}{2} \right) \psi_{n,k}$

n gibt die Landau-Niveaus an

$$\hat{L}_z \psi_{n,k} = \hbar (k - n) \psi_{n,k} \quad , \quad k = 0, 1, \dots, \infty$$

$$E = E_H + E_\perp = \frac{p_z^2}{2m} + \hbar \omega_c \left(n + \frac{1}{2} \right)$$

$$E_\perp \stackrel{!}{=} -\mu_z B_0 \rightarrow \mu_z = -\frac{|e|\hbar}{m} \left(n + \frac{1}{2} \right)$$

\hookrightarrow induziertes magnetisches Moment

in \vec{e}_z -Richtung, d.h. Diamagnetismus

Aus den Energieniveaus wird nun die Wellenfunktion bestimmt:

Grundzustand: $\hat{a} \psi_{0,0} = 0$; $\hat{b} \psi_{0,0} = 0$

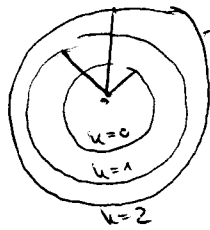
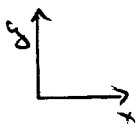
$$\rightarrow \dots \psi_{0,0} = \frac{1}{\sqrt{2\pi\ell_B^2}} e^{-z^* z / 4\ell_B^2}$$

angeregte Zustände: $\psi_{n,k} = \frac{(\hat{a}^\dagger)^n (\hat{b}^\dagger)^k}{\sqrt{n!} \sqrt{k!}} \psi_{0,0} = N_{n,k} z^k e^{-z^* z / 4\ell_B^2}$
(Normierung)

Ergebnis: Wie bewegt sich das Teilchen tatsächlich?

Betrachte Erwartungswert von $z^* z = x^2 + y^2$: Radius

$$\langle \psi_{0,k} | z^* z | \psi_{0,k} \rangle = 2(k+1) \ell_B^2$$



Radius: $r_k = \sqrt{2(k+1)} l_B$

Betrachte mag Fluss

$$\phi_{\odot} = B_0 (\pi r_{k+1}^2 - \pi r_k^2) = B_0 \pi (2(k+2) - 2(k+1)) l_B^2$$

mit $l_B^2 = \frac{h}{|e| B_0}$: $\phi_{\odot} = \frac{2\pi h}{|e|} = \phi_0$ elementares Flussquant

Auch wenn das Teilchen "ruhig" im Magnetfeld liegt, rotiert es um einen Kreis: der kleinste Zustand ist \neq Null!

Allgemein ist der Fluss ein Vielfaches eines Flussquants $\phi = N \phi_0$

$k = 0, 1, \dots, N-1$ jeder Zustand ist N -fach entartet

Unschärferelation

Die allgemeine Unschärfe entspricht im Prinzip der Schwarzsche Ungleichung

definiere: $\delta \hat{A} = \hat{A} - \langle \hat{A} \rangle$, $\delta \hat{B} = \hat{B} - \langle \hat{B} \rangle$, \hat{A}, \hat{B} hermitesch

Schwarzsche Ungleichung: $\langle (\delta \hat{A})^2 \rangle \langle (\delta \hat{B})^2 \rangle \geq |\langle \delta \hat{A} \delta \hat{B} \rangle|^2$

Beweis: $\langle (\delta \hat{A})^2 \rangle = \langle \psi | (\delta \hat{A})^2 | \psi \rangle = \langle \delta \hat{A} \psi | \delta \hat{A} \psi \rangle = \langle \psi_1 | \psi_1 \rangle$
 $\delta \hat{A} | \psi \rangle = | \delta \hat{A} \psi \rangle$
 $\langle (\delta \hat{B})^2 \rangle = \dots = \langle \psi_2 | \psi_2 \rangle$

$\langle \delta \hat{A} \delta \hat{B} \rangle = \langle \psi_1 | \psi_2 \rangle$

$\langle \delta \hat{A} \delta \hat{B} \rangle = \langle \psi_1 | \psi_2 \rangle$

damit wird die obige Gleichung zu $\|\psi_1\|^2 \|\psi_2\|^2 \geq |\langle \psi_1 | \psi_2 \rangle|^2$

$\delta \hat{A} \delta \hat{B} = \frac{1}{2} \{ \delta \hat{A}, \delta \hat{B} \} + \frac{1}{2} [\delta \hat{A}, \delta \hat{B}]$ (mit Antikommutator)

$[\delta \hat{A}, \delta \hat{B}]^\dagger = - [\delta \hat{A}, \delta \hat{B}]$ antihermitesch

$\{ \delta \hat{A}, \delta \hat{B} \}^\dagger = + \{ \delta \hat{A}, \delta \hat{B} \}$ hermitesch

$|\langle \delta \hat{A} \delta \hat{B} \rangle|^2 = \frac{1}{4} |\langle \{ \delta \hat{A}, \delta \hat{B} \} \rangle|^2 + \frac{1}{4} |\langle [\delta \hat{A}, \delta \hat{B}] \rangle|^2 \geq \frac{1}{4} |\langle [\delta \hat{A}, \delta \hat{B}] \rangle|^2$

$$\langle (\Delta \hat{A})^2 (\Delta \hat{B})^2 \rangle \geq \frac{1}{4} |\langle [\hat{A}, \hat{B}] \rangle|^2$$

$$\Delta A \equiv \sqrt{\langle (\Delta \hat{A})^2 \rangle}, \quad \Delta B \equiv \sqrt{\langle (\Delta \hat{B})^2 \rangle}$$

$$\Rightarrow \boxed{\Delta A \cdot \Delta B \geq \frac{1}{2} |\langle [\hat{A}, \hat{B}] \rangle|}$$

Wahrscheinlichkeitsdeutung der Entwicklungskoeffizienten

• Observable \hat{A} selbstadjungierter Operator $\hat{A} |n\rangle = a_n |n\rangle$

$$|\psi\rangle = \sum_n |n\rangle \underbrace{\langle n | \psi \rangle}_{=c_n} = \sum_n c_n |n\rangle$$

Erwartungswert:

$$\begin{aligned} \langle \hat{A} \rangle &= \langle \psi | \hat{A} | \psi \rangle = \sum_{m,n} \langle \psi | m \rangle \underbrace{\langle m | \hat{A} | n \rangle}_{=a_n \langle m | n \rangle} \langle n | \psi \rangle \\ &= a_n \sum_n \langle \psi | n \rangle a_n \langle n | \psi \rangle = \sum_n \langle \psi | n \rangle a_n \langle n | \psi \rangle \end{aligned}$$

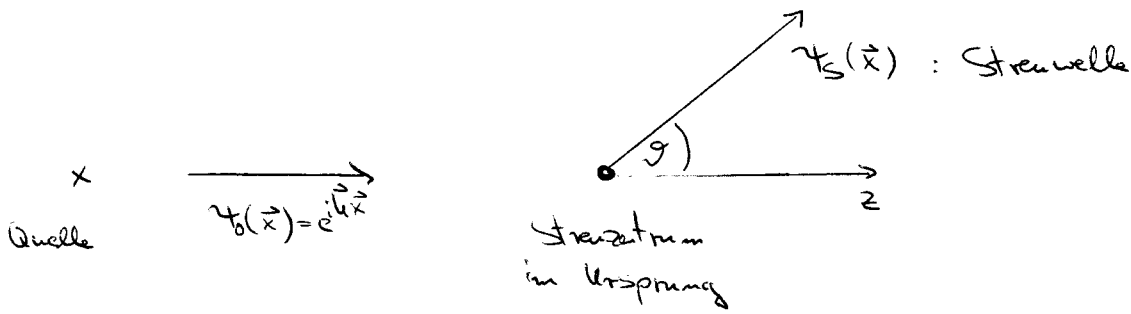
$$\langle \hat{A} \rangle = \sum_n |c_n|^2 a_n$$

$|c_n|^2$ gibt die Wahrscheinlichkeit an, dass bei der Messung der Observable \hat{A} der Eigenwert a_n zu finden

Die Wahrscheinlichkeiten addieren sich zu 1

Stationäre Streutheorie

☐ Detektor



Beschreibung durch Schrödingergleichung

Einfallende Welle: $-\frac{\hbar^2}{2m} \nabla^2 \psi_0 = E \psi_0$; $E = \frac{\hbar^2 k^2}{2m} > 0$ kein Potential

Wahrscheinlichkeitsdichte $\rho_0 = |\psi_0|^2 = 1$

Wahrscheinlichkeitsstromdichte $\vec{j}_0 = \frac{1}{2m} [\psi_0^* (-i\hbar \nabla) \psi_0 - \psi_0 (-i\hbar \nabla) \psi_0^*] = \frac{\hbar k}{2m} \hat{x}$

Gesamtwelle des Systems: $\psi(\vec{x}) = \psi_0(\vec{x}) + \psi_S(\vec{x})$

Potential muss hinzugenommen werden: $\hat{H} = \frac{\hat{p}^2}{2m} + V(\vec{x})$

Die Lösung wird ermittelt mit Hilfe der Greenschen Funktion

$$(\nabla^2 + k^2) g^+(\vec{x}) = \delta(\vec{x})$$

Die Differentialgleichung wird damit in integraler Form schreibbar:

$$\psi(\vec{x}) = \psi_0(\vec{x}) + \frac{2m}{\hbar^2} \int d^3x' g^+(\vec{x} - \vec{x}') V(\vec{x}') \psi(\vec{x}') \quad (1)$$

Diese Gleichung kann iterativ angegangen werden

Beweis für (1):

$$\begin{aligned} \left(-\frac{\hbar^2}{2m} \nabla^2 - E\right) \psi(\vec{x}) &= \underbrace{\left(-\frac{\hbar^2}{2m} \nabla^2 - E\right) \psi_0(\vec{x})}_{=0} - \int d^3x' \underbrace{(\nabla^2 + k^2) g^+(\vec{x} - \vec{x}') V(\vec{x}') \psi(\vec{x}')}_{= \delta(\vec{x} - \vec{x}')} \\ &= 0 - V(\vec{x}) \psi(\vec{x}) \Rightarrow \hat{H} \psi = E \psi \quad \checkmark \end{aligned}$$

Die Gleichung für die Greensche Funktion lässt sich lösen (\rightarrow Edynamik)

$$g^+(\vec{x}) = -\frac{1}{4\pi} \frac{e^{ikr}}{r} \quad (\text{von Ursprung ausgehende Kugelwelle})$$

Indem die Wahrscheinlichkeitsstromdichte eingesetzt (als ψ), erhält man

$$\vec{j}_S = j_S \vec{e}_r, \quad j_{S,r} = \frac{\hbar k}{m r^2}$$

$$k|\vec{x}-\vec{x}'| = k\sqrt{x^2 - 2\vec{x}\vec{x}' + x'^2}$$

Derktor weit weg vom streuer $|\vec{x}| \gg |\vec{x}'| \Rightarrow \dots = k\vec{r} - k\frac{\vec{x}\vec{x}'}{r} + \dots = k\vec{r} - \vec{k} \cdot \vec{x}'$

$$\psi(\vec{x}) = e^{i\vec{k}\vec{z}} - \frac{m}{2\pi\hbar^2} \int d^3x' \frac{e^{ik|\vec{x}-\vec{x}'|}}{|\vec{x}-\vec{x}'|} V(\vec{x}') \psi(\vec{x}')$$

$$\stackrel{\text{(Näherung)}}{=} e^{ikz} - \frac{m}{2\pi\hbar^2} \frac{e^{ikr}}{r} \int d^3x' e^{-i\vec{k}'\vec{x}'} V(\vec{x}') \psi(\vec{x}') = e^{ikz} + \frac{e^{ikr}}{r} f(\vartheta, \phi)$$

$f(\vartheta)$ ist die Streuamplitude

$$f(\vartheta) := -\frac{m}{2\pi\hbar^2} \int d^3x' e^{-i\vec{k}'\vec{x}'} V(\vec{x}') \psi(\vec{x}')$$

→ Wahrscheinlichkeitsstromdichte der auslaufenden Kugelwelle:

$$\begin{aligned} j_{\vec{r}} &= \frac{\hbar}{m} \operatorname{Im} \left(\psi_S^* \frac{\partial}{\partial r} \psi_S \right) = \frac{\hbar}{m} \operatorname{Im} \left(\frac{e^{ikr}}{r} \frac{\partial}{\partial r} \frac{e^{ikr}}{r} \right) |f(\vartheta)|^2 \\ &= \frac{1}{r^2} \frac{\hbar k}{m} |f(\vartheta)|^2 \end{aligned}$$

$dN = \vec{j} \cdot d\vec{s} dt$: Anzahl der Teilchen, die pro Zeitintervall dt durch das Flächenelement $d\vec{s}$ hindurchströmt

Geheiligste Streutheorie in Dirac-Schreibweise

Bornsche Näherung

kompliciertes Potential

$$\text{Dirac-Notation: } \langle \vec{x} | \psi \rangle = \langle \vec{x} | \psi_0 \rangle + \frac{2m}{\hbar^2} \int d^3x' \int d^3x''$$

$$\Rightarrow |\psi\rangle = |\psi_0\rangle + \frac{2m}{\hbar^2} \hat{G} \hat{V} |\psi\rangle$$

kann aufgelöst werden zu

$$|\psi\rangle = \left(1 - \frac{2m}{\hbar^2} \hat{G} \hat{V} \right)^{-1} |\psi_0\rangle \quad \left| \begin{array}{l} \text{geometrische Reihe} \end{array} \right.$$

$$= \sum_{n=0}^{\infty} \left(\frac{2m}{\hbar^2} \hat{G} \hat{V} \right)^n |\psi_0\rangle$$

Die Bornsche Näherung besteht darin, die Reihe nach dem zweiten Glied abzubrechen

$$\text{Explizit: } \psi(\vec{x}) = e^{ikz} - \frac{m}{2\pi\hbar^2} \int d^3x' \frac{e^{ik|\vec{x}-\vec{x}'|}}{|\vec{x}-\vec{x}'|} V(\vec{x}') \cdot e^{ikz'}$$

$$\text{asymptotisch: } |\vec{x}-\vec{x}'| = \sqrt{R^2 - 2\vec{x}\vec{x}' + x'^2} \xrightarrow{R \gg x'} R - \vec{x}' \cdot \vec{e}_z$$